

# Grand prix Nobel pour une petite molécule

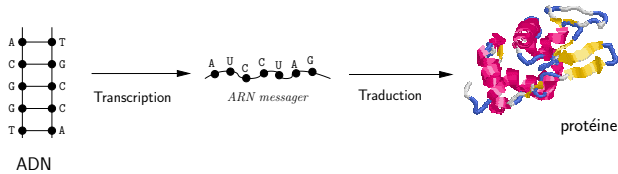
Libération - 2 octobre 2006



Le prestigieux Nobel de Médecine récompense deux chercheurs américains, Andrew Fire et Craig Mello, spécialistes de biologie moléculaire. Ils ont découvert en 1998 l'*ARN interférent*, une molécule fondamentale de la vie

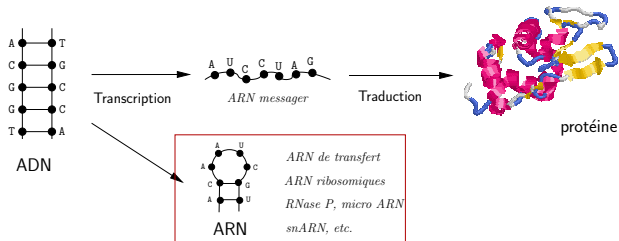
Cette découverte publiée le 19 février 1998 dans *Nature* a résolu de nombreuses questions que se posaient les scientifiques depuis une décennie. En travaillant sur le ver *Caenorhabditis elegans*, Mello et Fire avaient indirectement répondu aux chercheurs qui s'arrachaient les cheveux sur la couleur des pétunias: en introduisant deux gènes de couleur rouge, ils perdaient toute coloration: le mécanisme d'interférence neutralise l'expression du gène qui produit la couleur du pétunia. Depuis six ans, il ne se passe pas d'année sans que l'on découvre de nouvelles formes de cette petite molécule. En 2002, l'*ARN interférent* avait été sacré molécule de l'année par la revue *Science*. Cet été là, le généticien Axel Kahn avait expliqué à *Libération* les subtilités de la petite molécule, *le plus ancestral moyen de lutte contre les agents infectieux, un des mécanismes fondamentaux de la vie*.

# Les gènes à ARN



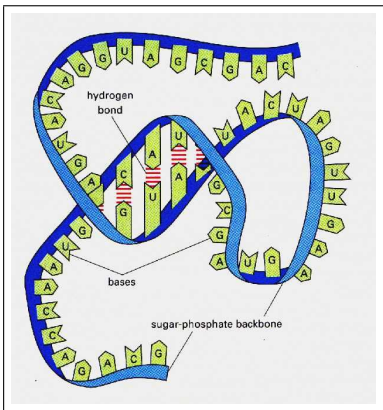
- ▶ **Gènes codant pour des protéines**

# Les gènes à ARN



- ▶ Gènes codant pour des protéines
- ▶ Gènes à ARN : synthèse protéique, activité catalytique

# Structure des ARN



Séquence: mot sur {A, U, C, G}  
orienté de 5' en 3'

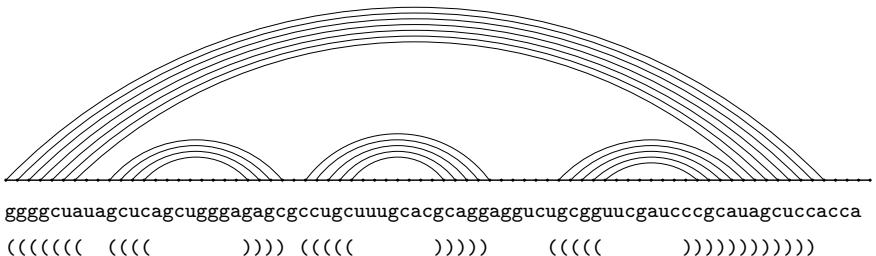
Structure: formation de liaisons hydrogènes entre deux nucléotides

*Watson-Crick : A–U, C–G  
faible : G–U  
U–C, G–A , ...*

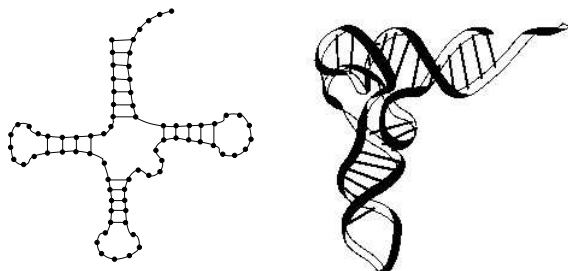
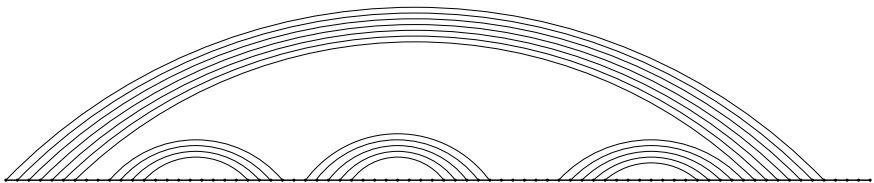
Pas de croisement entre les appariements

La structure est fonctionnellement importante

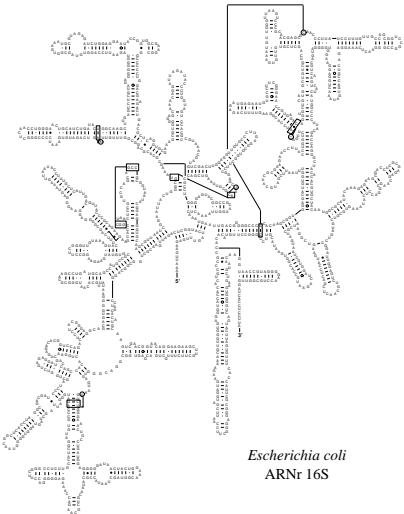
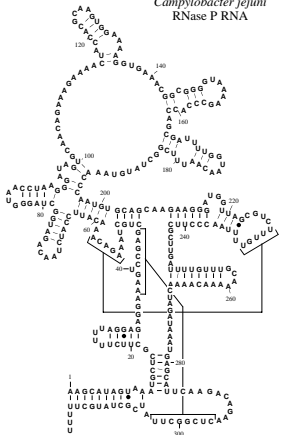
## Exemple : ARN de transfert (Alanine – E. coli)



## Exemple : ARN de transfert (Alanine – E. coli)



*Campylobacter jejuni*  
RNase P RNA



*Escherichia coli*  
ARNr 16S

# Comment déterminer la structure d'une molécule ?

- ▶ **Structure primaire:** séquençage
- ▶ **Structure secondaire et tertiaire**
  - ▶ Expérimentalement : cristallographie par diffraction à rayons X, résonance magnétique nucléaire (RMN)  
*Long, difficile et coûteux*
  - ▶ Par bio-informatique: algorithmes de prédiction de structures secondaires
    - Méthode 1 : approche thermodynamique*
    - Méthode 2 : approche comparative*

# Approche thermodynamique

- ▶ **Trois hypothèses:**
  - ▶ À chaque configuration de la molécule correspond une quantité d'énergie libre.
  - ▶ La configuration la plus stable est celle qui minimise l'énergie libre.
  - ▶ La molécule, en se repliant, adopte la configuration la plus stable.
- ▶ **On s'est ramené à un problème combinatoire : trouver la structure dont l'énergie est optimale.**

## Modèle initial (Nussinov - 1978)

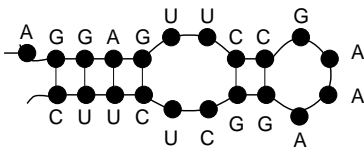
- ▶ L'énergie de la molécule est la somme des énergies de chaque paire de bases.
- ▶  $\alpha(r_i, r_j)$  : énergie libre de l'appariement  $(r_i, r_j)$

$$\begin{aligned}\alpha(r_i, r_j) &< 0 && \text{si } j - i > 3 \text{ et } r_i \leftrightarrow r_j \\ \alpha(r_i, r_j) &= 0 && \text{si } i = j \\ \alpha(r_i, r_j) &= +\infty && \text{sinon}\end{aligned}$$

- ▶ Énergie libre de la structure secondaire  $\mathcal{S}$

$$E(\mathcal{S}) = \sum_{(r_i, r_j) \in \mathcal{S}} \alpha(r_i, r_j)$$

► Exemple



Fonction d'énergie :

$$\alpha(A, U) = -2$$

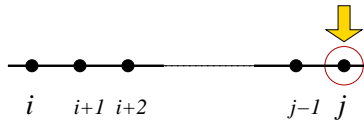
$$\alpha(C, G) = -3$$

$$\alpha(G, U) = -1$$

Energie totale:  $-15$

- Comment calculer la structure optimale ? par programmation dynamique

## Etape 1: décomposition du problème en instances plus petites



- ▶  $\mathcal{S}_{i,j}$  : structure secondaire optimale pour la sous-séquence  $i \dots j$
- ▶ Trois possibilités pour  $r_j$  :
  1.  $r_j$  ne s'apparie pas avec la sous-chaîne  $r_i \dots r_{j-1}$  :  $E(\mathcal{S}_{i,j}) = E(\mathcal{S}_{i,j-1})$
  2.  $r_j$  s'apparie avec  $r_i$  :  $E(\mathcal{S}_{i,j}) = E(\mathcal{S}_{i+1,j-1}) + \alpha(r_i, r_j)$
  3.  $r_j$  s'apparie avec  $r_k$  pour un  $i < k < j$  :
$$E(\mathcal{S}_{i,j}) = \min\{E(\mathcal{S}_{i,k-1}) + \alpha(r_k, r_j) + E(\mathcal{S}_{k+1,j-1}), k \in ]i,j[\}$$
- ▶  $E(\mathcal{S}_{i,j}) = \min$  cas **1**, **2** et **3**

## **Etape 2 :** construction de la table de programmation dynamique

- Une table  $T$ , de dimension 2:  $T(i,j) := E(\mathcal{S}_{i,j})$

$$T(i,j) = \min \begin{cases} T(i,j-1) \\ T(i+1,j-1) + \alpha(r_i, r_j) \\ \min\{T(i,k-1) + \alpha(r_k, r_j) + T(k+1,j-1)\} \end{cases}$$

- Une table  $S$  qui stocke le devenir de  $r_j$

## **Etape 3:** construction de la structure secondaire optimale, par retour arrière

### **Complexité**

- Chaque case de la table nécessite  $O(n)$  calculs.
- Complexité globale en  $O(n^3)$ .













	(	(	C	G	G	A	U	A	C	U	U	C	U	U	A	G	A	)	)	.
C	0	0	0	0	0	3	4	4	6	6	6	6	9	9	11	14	14			
G	0	0	0	0	0	3	4	4	6	6	6	6	7	9	11	11	11	11	11	
G	0	0	0	0	0	3	3	3	5	5	5	5	7	8	10	10	10	10	10	
A	0	0	0	0	0	2	2	2	2	4	4	4	5	7	7	7	8	10		
U	0	0	0	0	0	0	0	0	2	2	4	5	7	7	7	8	10			
A	0	0	0	0	0	0	0	0	2	2	2	5	5	5	5	8	8			
C	0	0	0	0	0	0	0	0	0	2	5	5	5	5	5	8	8			
U	0	0	0	0	0	0	0	0	0	2	3	5	5	5	5	6	7			
U	0	0	0	0	0	0	0	0	2	3	5	5	5	5	5	5	7			
C	0	0	0	0	0	0	0	0	0	3	3	3	3	3	3	5	5			
U	0	0	0	0	0	0	0	0	0	0	2	2	2	2	2	2	3			
U	0	0	0	0	0	0	0	0	0	0	0	0	0	0	0	1	1			
A	0	0	0	0	0	0	0	0	0	0	0	0	0	0	0	0	0			
G	0	0	0	0	0	0	0	0	0	0	0	0	0	0	0	0	0			
A	0	0	0	0	0	0	0	0	0	0	0	0	0	0	0	0	0			
C	0	0	0	0	0	0	0	0	0	0	0	0	0	0	0	0	0			
G	0	0	0	0	0	0	0	0	0	0	0	0	0	0	0	0	0			
A	0	0	0	0	0	0	0	0	0	0	0	0	0	0	0	0	0			





	(	(	C	G	G	A	U	A	C	U	U	C	U	U	A	G	)	)	)	.
C	0	0	0	0	0	3	4	4	6	6	6	6	9	9	11	14	14			
G	0	0	0	0	0	3	4	4	6	6	6	6	7	9	11	11	11	11	11	
G	0	0	0	0	0	3	3	3	5	5	5	5	7	8	10	10	10	10	10	
A	0	0	0	0	0	2	2	2	2	4	4	4	5	7	7	8	10			
U	0	0	0	0	0	0	0	0	2	2	4	5	7	7	8	10				
A	0	0	0	0	0	0	0	0	2	2	2	5	5	5	5	8	8			
C	0	0	0	0	0	0	0	0	0	2	5	5	5	5	5	8	8			
U	0	0	0	0	0	0	0	0	2	3	5	5	5	6	7					
U	0	0	0	0	0	0	0	2	3	5	5	5	5	5	7					
C	0	0	0	0	0	0	0	0	3	3	3	3	3	3	5	5	5			
U	0	0	0	0	0	0	0	0	2	2	2	2	2	2	2	3				
U	0	0	0	0	0	0	0	0	0	0	0	0	0	0	1	1				
A	0	0	0	0	0	0	0	0	0	0	0	0	0	0	0	0	0			
G	0	0	0	0	0	0	0	0	0	0	0	0	0	0	0	0	0			
A	0	0	0	0	0	0	0	0	0	0	0	0	0	0	0	0	0			
C	0	0	0	0	0	0	0	0	0	0	0	0	0	0	0	0	0			
G	0	0	0	0	0	0	0	0	0	0	0	0	0	0	0	0	0			
A	0	0	0	0	0	0	0	0	0	0	0	0	0	0	0	0	0			

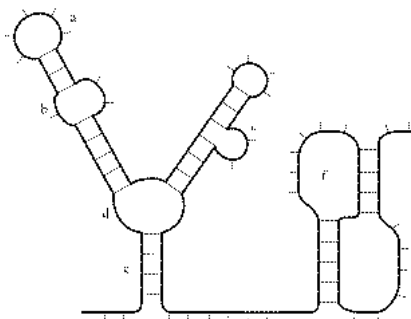
	(	(	(	.	.	)	(	U	C	U	U	C	U	U	A	G	)	)	)	.
C	0	0	0	0	0	3	4	4	6	6	6	6	9	9	11	14	14			
G	0	0	0	0	0	3	4	4	6	6	6	6	7	9	11	11	11	11		
G	0	0	0	0	0	3	3	3	5	5	5	5	7	8	10	10	10	10		
A	0	0	0	0	0	0	2	2	2	2	4	4	5	7	7	8	10			
U	0	0	0	0	0	0	0	0	2	2	4	5	7	7	8	10				
A	0	0	0	0	0	0	0	0	2	2	2	5	5	5	8	8				
C	0	0	0	0	0	0	0	0	0	2	5	5	5	5	8	8				
U	0	0	0	0	0	0	0	2	3	5	5	5	6	7						
U	0	0	0	0	0	0	2	3	5	5	5	5	7							
C	0	0	0	0	0	0	3	3	3	3	3	3	5	5	5	8	8			
U	0	0	0	0	0	0	0	2	2	2	2	2	2	2	2	3	3			
U	0	0	0	0	0	0	0	0	0	0	0	0	0	0	0	1	1			
A	0	0	0	0	0	0	0	0	0	0	0	0	0	0	0	0	0			
G	0	0	0	0	0	0	0	0	0	0	0	0	0	0	0	0	0			
A	0	0	0	0	0	0	0	0	0	0	0	0	0	0	0	0	0			
C	0	0	0	0	0	0	0	0	0	0	0	0	0	0	0	0	0			
G	0	0	0	0	0	0	0	0	0	0	0	0	0	0	0	0	0			
A	0	0	0	0	0	0	0	0	0	0	0	0	0	0	0	0	0			



# Mfold

Zuker, Turner *et al.*

- ▶ Paramètres d'énergie
  - ▶ liaison hydrogène
  - ▶ énergie d'empilement
- ▶ Motifs structuraux

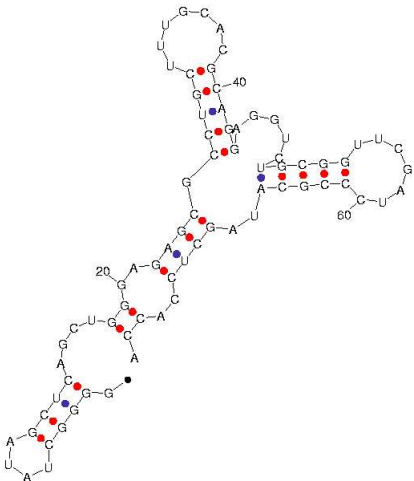


- a. épingle à cheveux (*hairpin*)
- b. boucle interne (*internal loop*)
- c. renflement (*bulge loop*)
- d. jonction
- e. tige (*duplex*)
- f. **Exclus** : pseudo-nœud (*pseudoknot*)

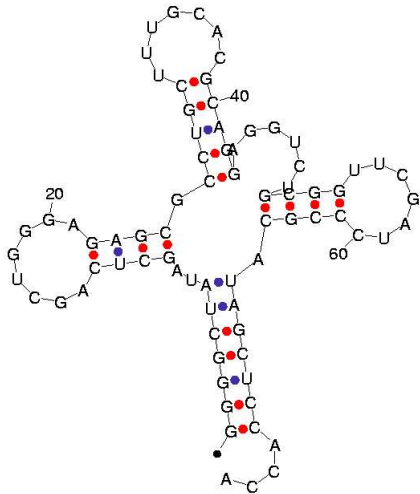
## Limites de l'approche thermodynamique

- ▶ Pertinence de la définition de la fonction d'énergie.  
**Solution** : *transformer l'algorithme pour obtenir un ensemble de configurations sous-optimales*
- ▶ Les hypothèses biologiques ne sont pas toutes valides :  
Il existe des molécules d'ARN qui se replient en formant des nœuds, ou dans lesquelles un appariement regroupent 3 nucléotides.  
**Solution** : *complexifier les algorithmes*
- ▶ Pas de prise en compte d'interactions avec des molécules voisines.
- ▶ Pas de prise en compte du sens de la synthétisation de l'ARN.

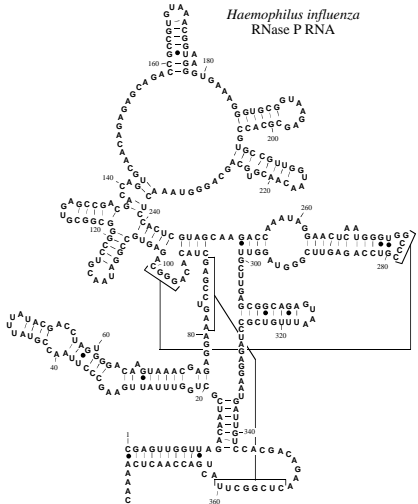
## Exemple : ARN de transfert



$dG = -27.57$  [initially  $-29.7$ ] tRNA<sub>coli</sub>



dG = -29.04 [[initially -29.6] tRNA\_coli

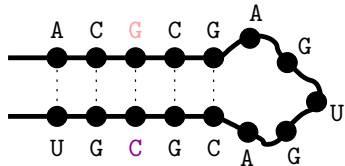
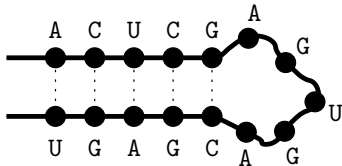


sous-unité ARN de RNase P  
(*Hemophilus influenza*)

Mfold :  
21 structures sous-optimales

# Approche comparative

- ▶ On dispose d'une famille de séquences homologues
- ▶ Lors de l'évolution, la structure est mieux préservée que la séquence
- ▶ Les séquences homologues partagent la même structure
- ▶ **Phénomène de changement de base compensatoire:**  
Quand une base impliquée dans un appariement mute, la base complémentaire mute également, pour préserver la structure



► Jeu de séquences

G	A	G	C	C	C	A	G	U	U	C
A	G	G	A	C	U	C	U	U	C	
A	A	U	C	A	C	C	C	G	A	U

► Jeu de séquences

G	A	G	C	C	C	A	G	U	U	C
A	G	G	A	C	U	C	U	U	C	
A	A	U	C	A	C	C	C	G	A	U

► Etape 1 : construction d'un alignement multiple

G	A	G	C	—	C	C	A	G	U	U	C
—	A	G	G	A	C	—	U	C	U	U	C
A	A	U	C	A	C	C	C	G	A	U	—
—	A	G	G	A	C	—	U	C	U	U	C

► Jeu de séquences

G	A	G	C	C	C	A	G	U	U	C
A	G	G	A	C	U	C	U	U	C	
A	A	U	C	A	C	C	C	G	A	U

► Etape 1 : construction d'un alignement multiple

G	A	G	C	—	C	C	A	G	U	U	C
—	A	G	G	A	C	—	U	C	U	U	C
A	A	U	C	A	C	C	C	G	A	U	—
—	A	G	G	A	C	—	U	C	U	U	C

► Etape 2 : détection des positions corrélées

► Jeu de séquences

G	A	G	C	C	C	A	G	U	U	C
A	G	G	A	C	U	C	U	U	C	
A	A	U	C	A	C	C	C	G	A	U

► Etape 1 : construction d'un alignement multiple

G	A	G	<b>C</b>	—	C	C	A	<b>G</b>	U	U	C
—	A	G	<b>G</b>	A	C	—	U	<b>C</b>	U	U	C
A	A	U	<b>C</b>	A	C	C	C	<b>G</b>	A	U	—
—	A	G	<b>G</b>	A	C	—	U	<b>C</b>	U	U	C

► Etape 2 : détection des positions corrélées

► Jeu de séquences

G	A	G	C	C	C	A	G	U	U	C
A	G	G	A	C	U	C	U	U	C	
A	A	U	C	A	C	C	C	G	A	U

► Etape 1 : construction d'un alignement multiple

G	A	<b>G</b>	<b>C</b>	—	C	C	A	<b>G</b>	<b>U</b>	U	C
—	A	<b>G</b>	<b>G</b>	A	C	—	U	<b>C</b>	<b>U</b>	U	C
A	A	<b>U</b>	<b>C</b>	A	C	C	C	<b>G</b>	<b>A</b>	U	—
—	A	<b>G</b>	<b>G</b>	A	C	—	U	<b>C</b>	<b>U</b>	U	C

► Etape 2 : détection des positions corrélées

# Comment mesurer la corrélation entre deux colonnes ?

$\mathcal{I}(i,j)$  : **information mutuelle** des colonnes  $i$  et  $j$  de l'alignement multiple

$$\mathcal{I}(i,j) = \sum_{x,y=A,C,G,T} f_{x,y}^{i,j} \log_2 \frac{f_{x,y}^{i,j}}{f_x^i f_y^j}$$

- ▶  $f_x^i$  fréquence de la base  $x$  dans la colonne  $i$
- ▶  $f_{x,y}^{i,j}$  fréquence du couple  $x, y$  dans les colonnes  $i$  et  $j$

$\mathcal{I}(i,j)$  varie entre 0 et 2 bits.

Quantité d'information révélée par la colonne  $j$ , la colonne  $i$  étant connue.  $\mathcal{I}(i,j)$  est maximale quand  $i$  et  $j$  individuellement paraissent aléatoires ( $f_x^i = f_y^j = 0.25$ ) et que  $i$  et  $j$  sont parfaitement corrélées.

## Exemples

. . A . . . U . .  
. . A . . . C . .  
. . A . . . U . .  
. . C . . . G . .

$$\mathcal{I} = \frac{\log_2(4/3)}{2} + \frac{\log_2(4/3)}{4} + \frac{\log_2(4)}{4}$$

. . A . . . U . .  
. . U . . . A . .  
. . C . . . G . .  
. . G . . . C . .

$$\mathcal{I} = \frac{\log_2(4)}{4} + \frac{\log_2(4)}{4} + \frac{\log_2(4)}{4} + \frac{\log_2(4)}{4} = 2$$

La corrélation entre les deux colonnes est maximale.

GGGG**A**TTAGCTCAGCT-GGGAGAGCACCTGCTTGCAAGCAGGGGTCA~~GCGTT~~CATCCGCTATTCTCCA---  
GGGG**C**TATAGCTCAGCT-GGGAGAGCGCCTGCTTGACCCAGGAGGTCTGCGGTT~~C~~ATCCGCA~~T~~**A**GCTCCACCA  
GGGG**C**TATAGCTCAGCT-GGGAGAGCGCTTGCA~~T~~GGCAT~~G~~CAAGAGGTCA~~G~~CGGTT~~C~~ATCCGCTTAGCTCCACCA  
GGGG**A**TTAGCTCAGCT-GGGAGAGCACCTGCTTGCAAGCAGGGGTCA~~GCGTT~~CATCCGCTATTCTCCA---  
GGGG**C**TTAGCTCAGTC-GGTAGAGCACTGCCTTGCAAGGCAGAT~~G~~TCA~~G~~GGGTT~~C~~AT~~CCC~~CTAG**G**CTCCA---  
GGGG**T**TAGCTCAGTT-GGTAGAGCGCTGCCTTGCAAGGCAGAAGTCAGCGGTTGA . TCCGCTTACCCCCA---  
GGGG**C**TATAGCTCAGCT-GGGAGAGCGCCTGCTTGACCCAGGAGGTCTGCGGTT~~C~~ATCCGCA~~T~~**A**GCTCCACCA  
GGGG**C**TATAGCTCAGCT-GGGAGAGCGCCTGCTTGACCCAGGAGGTCTGCGGTT~~C~~ATCCGCA~~T~~**A**GCTCCACCA  
GGGG**C**ATAGCTCAGCT-GGGAGAGCACCTGCTTGCAAGCAGGGT-CGTCGGTT~~C~~ATCCGTCTG**C**CTCCACCA  
GGGG**C**CATAGCTCAGCT-GGGAGAGCGCCTGCTTGACCCAGGAGGTCA~~G~~GGTT~~C~~AT~~CCC~~GTCTG**C**CTCCACCA  
GGGG**C**ATAGCTCAGCT-GGGAGAGCACCTGCTTGCAAGCAGGGT-CGTCGGTT~~C~~ATCCGTCTG**C**CTCCACCA  
GGGG**C**CATAGCTCAGCTGGGGAGAGCGCCTGCCTTGACCCAGGAGGTCAACGGTT~~C~~AT~~CCC~~GT~~T~~GGCTCCA---  
GGGG**C**ATAGCTCAGCT-GGGAGAGCACCTGCTTGCAAGCAGGGT-CGTCGGTT~~C~~ATCCGTCTG**C**CTCCACCA  
GGGG**C**ATTAGCTCAGCT-GGGAGAGCGCCTGCTTGACCCAGGAGGTCA~~G~~GGTT~~C~~ATCCGCTATTCTCCACCA  
GGGG**C**CATAGCTCAGTT-GGTAGAGCGCCTGCTTGCAAGCAGGTGT-CGTCGGTT~~C~~GA~~A~~CCGTCTG**C**CTCCACCA  
GGGG**C**CGTAGCTCAGCTGGG-AGAGCACCTGCTTGCAAGCAGGGGT~~C~~GGAGGTT~~C~~AT~~CCC~~GT~~CC~~**G**CTCCACCA  
GGGG**C**CGTAGCTCAGCT-GGGAGAGCACCTGCTTGCAAGCAGGGGT~~C~~GT~~C~~GGTT~~C~~AT~~CCC~~GT~~CC~~**G**CTCCACCA  
GGGG**C**CGTAGCTCAGCT-GG-AGAGCACCTGCTTGCAAGCAGGGGT~~C~~GT~~C~~GGTT~~C~~AT~~CCC~~GT~~CC~~**G**CTCCACCA

ARN de transfert

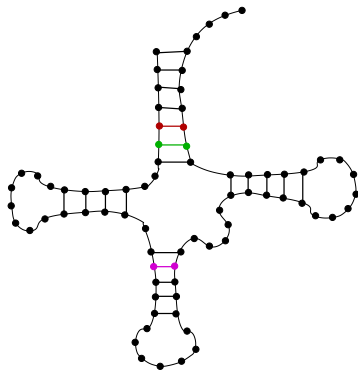
GGGGATTAGCTCAGCT-GGGAGAGCACCTGCTTGCAAGCAGGGGTCA CGGGTTCGATCCGCTA TTCTCCA---  
GGGGCTATAGCTCAGCT-GGGAGAGCGCCTGCTTGACCCAGGAGGTCTCGGGTTCGATCCGCTA AGCTCCACCA  
GGGGCTATAGCTCAGCT-GGGAGAGCGCTTGCAAGGAGGTCA CGGGTTCGATCCGCTA AGCTCCACCA  
GGGGATTAGCTCAGCT-GGGAGAGCACCTGCTTGCAAGCAGGGGTCA CGGGTTCGATCCGCTA TTCTCCA---  
GGGGCTTAGCTCAGTC-GGTAGAGCACTGCCTTGCAAGGCAGATGTCAGGGTTCGATTCCCCTAGGCTCCA---  
GGGGGTATAGCTCAGTT-GGTAGAGCGCTGCCTTGCAAGGCAGAAGTCAGCGGTTGA . TCCGCTTACCCCCA---  
GGGGCTATAGCTCAGCT-GGGAGAGCGCCTGCTTGACCCAGGAGGTCTCGGGTTCGATCCGCTA AGCTCCACCA  
GGGGCTATAGCTCAGCT-GGGAGAGCGCCTGCTTGACCCAGGAGGTCTCGGGTTCGATCCGCTA AGCTCCACCA  
GGGGCATAGCTCAGCT-GGGAGAGCACCTGCTTGCAAGCAGGGT-CGTCGGTTCGATCCGTCTGCCTCCACCA  
GGGGCCATAGCTCAGCT-GGGAGAGCGCCTGCTTGACCCAGGAGGTCA CGGGTTCGATCCGTCTGGCTCCACCA  
GGGGCATAGCTCAGCT-GGGAGAGCACCTGCTTGCAAGCAGGGT-CGTCGGTTCGATCCGTCTGCCTCCACCA  
GGGGCCATAGCTCAGCTGGGGAGAGCGCCTGCCTTGACCCAGGAGGTCAACGGTTCGATCCGTCTGGCTCCA---  
GGGGCATAGCTCAGCT-GGGAGAGCACCTGCTTGCAAGCAGGGT-CGTCGGTTCGATCCGTCTGCCTCCACCA  
GGGGCATTAGCTCAGCT-GGGAGAGCGCCTGCTTGACCCAGGAGGTCA CGGGTTCGATCCGCTA TTCTCCACCA  
GGGGCCATAGCTCAGTT-GGTAGAGCGCCTGCTTGCAAGCAGGTGT-CGTCGGTTGAATCCGTCTGGCTCCACCA  
GGGGCGTAGCTCAGCTGGG-AGAGCACCTGCTTGCAAGCAGGGGTCA CGGGTTCGATCCGTCCGGCTCCACCA  
GGGGCCGTAGCTCAGCT-GGGAGAGCACCTGCTTGCAAGCAGGGGTCA CGGGTTCGATCCGTCCGGCTCCACCA  
GGGGCCGTAGCTCAGCT-GG-AGAGCACCTGCTTGCAAGCAGGGGTCA CGGGTTCGATCCGTCCGGCTCCACCA

ARN de transfert

GGGGATTAGCTCAGCT-GGGAGAGCACCTGCTTGCAAGCAGGGGTCAGCGGTTCGATCCGCTATTCTCCA---  
GGGGCTATAGCTCAGCT-GGGAGAGCGCCTGCTTGACCCAGGAGGTCTCGCGGTTCGATCCGATAGCTCCACCA  
GGGGCTATAGCTCAGCT-GGGAGAGCGCTTGCAATGCCAGAAGGTCAGCGGTTCGATCCGTTAGCTCCACCA  
GGGGATTAGCTCAGCT-GGGAGAGCACCTGCTTGCAAGCAGGGGTCAGCGGTTCGATCCGCTATTCTCCA---  
GGGGCTTAGCTCAGTC-GGTAGAGCACTGCCTTGCAAGGCAGATGTCAGGGGTTCGATTCCCCTAGGCTCCA---  
GGGGGTATAGCTCAGTT-GGTAGAGCGCTGCCTTGCAAGGCAGAACGTCAGCGGTTGA . TCCGTTACCCCCA---  
GGGGCTATAGCTCAGCT-GGGAGAGCGCCTGCTTGACCCAGGAGGTCTCGCGGTTCGATCCGATAGCTCCACCA  
GGGGCTATAGCTCAGCT-GGGAGAGCGCCTGCTTGACCCAGGAGGTCTCGCGGTTCGATCCGATAGCTCCACCA  
GGGGCATAGCTCAGCT-GGGAGAGCACCTGCTTGCAAGCAAGGGT-CGTCGGTTCGATCCGTCTGCCTCCACCA  
GGGGCCATAGCTCAGCT-GGGAGAGCGCCTGCTTGACCCAGGAGGTCAAGGGGTTCGATCCGTCTGGCTCCACCA  
GGGGGCATAGCTCAGCT-GGGAGAGCACCTGCTTGCAAGCAAGGGT-CGTCGGTTCGATCCGTCTGCCTCCACCA  
GGGGCCATAGCTCAGCTGGGGAGAGCGCCTGCCTTGACCCAGGAGGTCAACGGTTCGATCCGTTCGGCTCCA---  
GGGGGCATAGCTCAGCT-GGGAGAGCACCTGCTTGCAAGCAAGGGT-CGTCGGTTCGATCCGTCTGCCTCCACCA  
GGGGCATTAGCTCAGCT-GGGAGAGCGCCTGCTTGACCCAGGAGGTCAAGGGGTTCGATCCGCTATTCTCCACCA  
GGGGCCATAGCTCAGTT-GGTAGAGCGCCTGCTTGCAAGCAAGGTGT-CGTCGGTTGAATCCGTCTGGCTCCACCA  
GGGGCCGTAGCTCAGCTGGG-AGAGCACCTGCTTGCAAGCAAGGGGTCGGAGGTTCGATCCGTCCGGCTCCACCA  
GGGGCCGTAGCTCAGCT-GGGAGAGCACCTGCTTGCAAGCAAGGGGTCGTGGTTCGATCCGTCCGGCTCCACCA  
GGGGCCGTAGCTCAGCT-GG-AGAGCACCTGCTTGCAAGCAAGGGGTCGTGGTTCGATCCGTCCGGCTCCACCA

ARN de transfert

Vérification ...



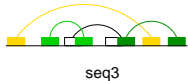
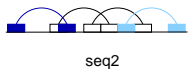
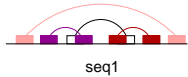
Structure secondaire de l'ARNt

## Méthodes hybrides

**Exemple :** caRNAc (Perriquet Touzet - 2003)

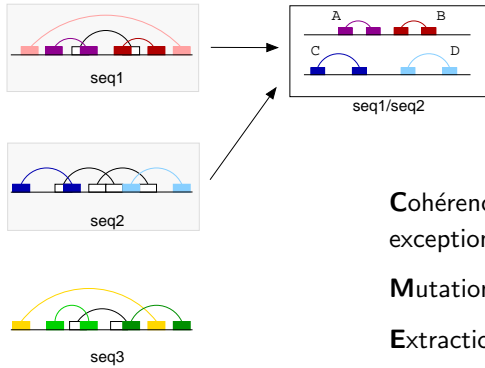
- ▶ **Trois sources d'information :**
  - ▶ énergie libre
  - ▶ mutations compensatoires
  - ▶ conservation éventuelle des séquences
- ▶ **Supporter des séquences et des structures divergentes**  
Pas d'alignement préalable des séquences
- ▶ **Permettre la gestion de longs jeux de données**
- ▶ <http://bioinfo.lifl.fr/carnac>

# caRNAc : stratégie de prédition



1. Identification des tiges potentielles, séquence par séquence

# caRNAc : stratégie de prédition



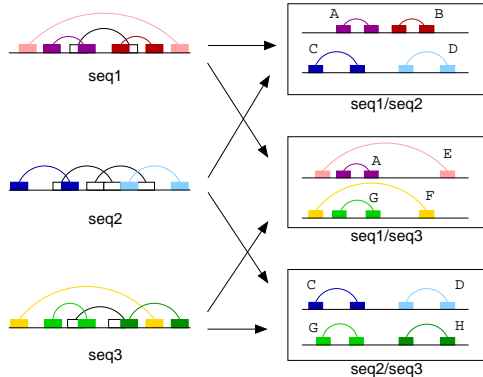
Cohérence avec les motifs exceptionnellement conservés

Mutations compensatoires

Extraction de la structure commune par programmation dynamique

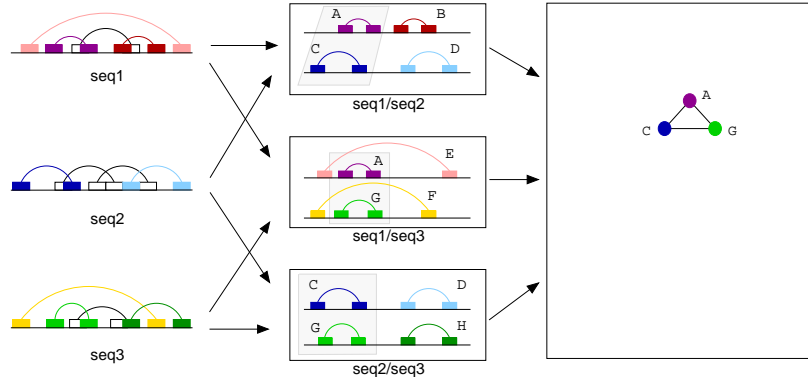
## 2. Confrontation deux à deux

# caRNAc : stratégie de prédition



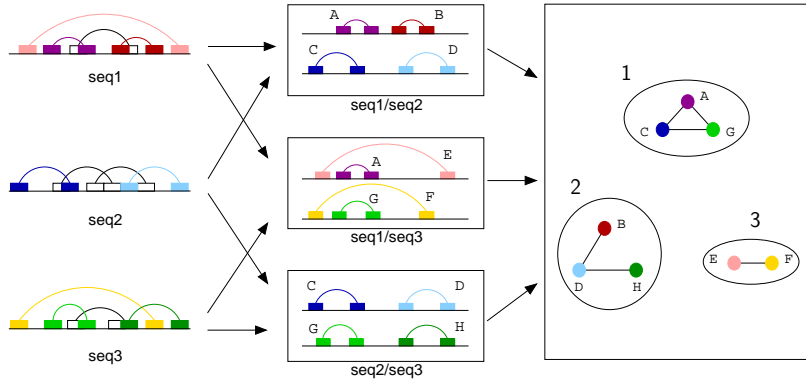
## 3. Combinaison des prédictions 2 à 2 : graphe des tiges

# caRNAc : stratégie de prédition



## 3. Combinaison des prédictions 2 à 2 : graphe des tiges

# caRNAc : stratégie de prédition

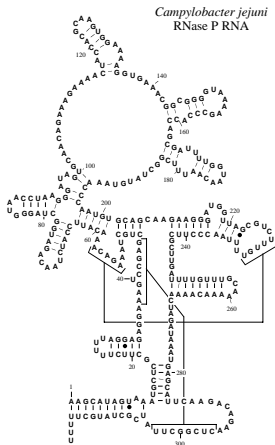


## 4. Sélection finale des tiges

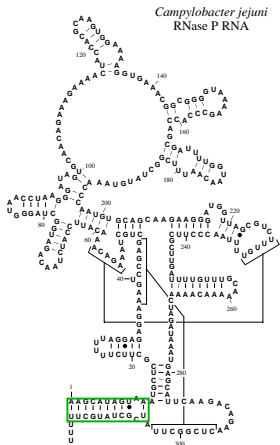
# Comparaison de molécules d'ARN

- ▶ Comparaison des séquences : algorithmes sur les mots  
Alignement, recherche de motifs, etc.
- ▶ Comparaison des structures secondaires : algorithmes sur les arbres  
Alignement, recherche de motifs, etc.

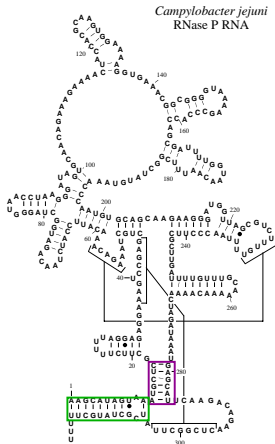
# L'ARN vu comme un arbre



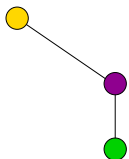
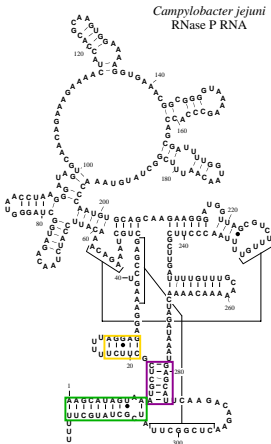
# L'ARN vu comme un arbre



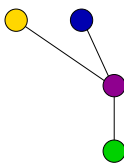
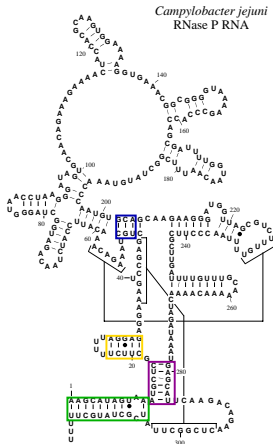
# L'ARN vu comme un arbre



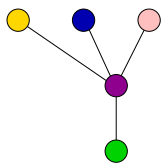
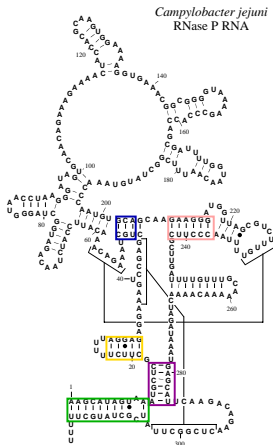
# L'ARN vu comme un arbre



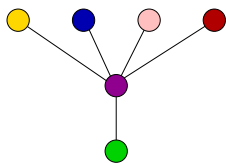
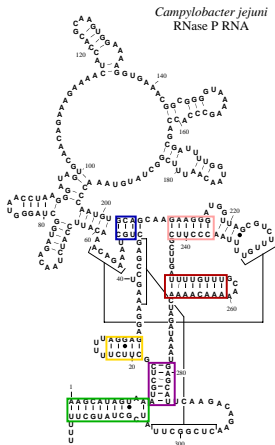
# L'ARN vu comme un arbre



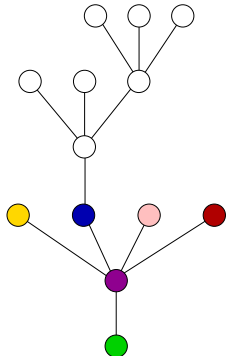
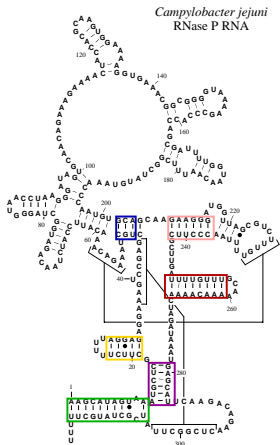
# L'ARN vu comme un arbre

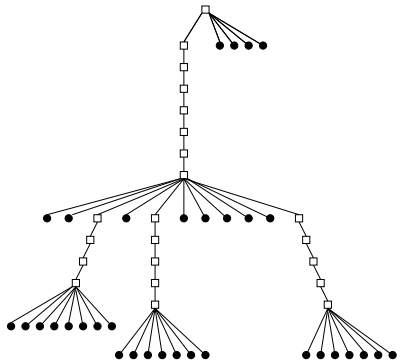
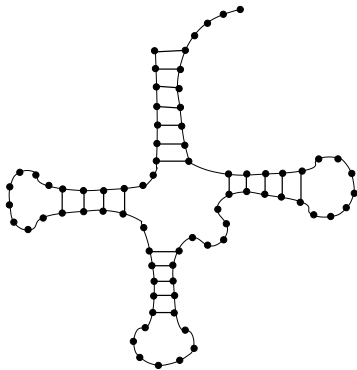


# L'ARN vu comme un arbre



# L'ARN vu comme un arbre





Représentation arborescente pour la structure secondaire de l'ARN de transfert

□ : 2 bases appariées (hélice)

● : base libre (boucle)